

1. 緒言 合流部における河床変動は、合流角度、河川の形状という面、流量、流砂量、河床材料の粒度分布、などの多種の要因を含む複雑な現象であつて、現在までのところ、合流部の河床変動については、ほとんど研究されていない。この研究¹⁾は、本川水路にあらず合流角度で支川水路が合流する単純な場合を取り扱い、動的平衡理論を適用して合流部上下流の平衡水深を求め、さらに平衡水深の発生領域を求めてある。最後に、合流部における洗掘水深についても考察を行なってある。

2. 理論的考察

A) 合流部の平衡水深 Fig. 1 を参照し、合流部上下流の水路断面流入流量、 Q_1 、 Q_2 に対して動的平衡の状態にあると考えると、流砂の連続式は、

$$g_{s1} B_1 + g_{s2} B_2 = g_{s3} B_3 \quad \dots \dots \dots (1)$$

ここで B = 水路幅、 g_s = 単位幅単位時間当たりの流砂量、添字 1, 2, 3, はそれぞれ水路の 1, 2, 3 を示す。流水に関する連続式は、 $Q_1 + Q_2 = Q_3$ $\dots \dots \dots (2)$

となる。流砂量公式²⁾は、Kalinske-Brown 形式の式を用いる： $\frac{g_s}{U_* D} = a_s \left\{ \frac{U_*^2}{[(\alpha/\beta)-1] g D} \right\}^\beta$ $\dots \dots \dots (3a)$

この式から g_s は、つきのように表わすことができる³⁾： $g_s = \rho D^{(1-\beta)} U_*^{(2\beta+1)} \dots \dots \dots (3b)$
 ここで U_* = 摩擦速度、 D = 平均粒径、 β = 無次元指数、 $\rho_s = a_s / \{[(\alpha/\beta)-1] g\}^\beta$ 、 α = 土砂の密度、 ρ = 水の密度、 g = 重力の加速度、 a_s = 常数。Kalinske-Brown の式²⁾は、 $a_s = 10$ 、 $\beta = 2.0$ である。また、Manning の粗度係数が 0.025 より大きくなることは、 $U_* > U_{*c}$ のとき、掃流砂のみを考えると、佐藤一吉川一芦田公式⁴⁾の $a_s = 0.623$ 、 $\beta = 1.0$ である。式(1)を $g_{s3} B_3$ で割ると、

$$\left(\frac{g_{s1}}{g_{s3}} \right) \left(\frac{B_1}{B_3} \right) + \left(\frac{g_{s2}}{g_{s3}} \right) \left(\frac{B_2}{B_3} \right) = 1 \quad \dots \dots \dots (4a)$$

式(3b)を式(4a)に代入し、 $\beta_1 = \beta_3$ 、 $\beta_2 = \beta_3$ であるから、

$$\left(\frac{B_1}{B_3} \right)^{2\beta} \left(\frac{D_1}{D_3} \right)^{(1-\beta)} \left(\frac{U_{*1}}{U_{*3}} \right)^{(2\beta+1)} + \left(\frac{B_2}{B_3} \right)^{2\beta} \left(\frac{D_2}{D_3} \right)^{(1-\beta)} \left(\frac{U_{*2}}{U_{*3}} \right)^{(2\beta+1)} = 1 \quad \dots \dots \dots (4b)$$

摩擦速度は、Manning 式を用いると、 $U_* = \frac{g^{1/2} Q n}{B y^{1/6}}$ $\dots \dots \dots (5)$

ここで y = 水深、 n = Manning の粗度係数。式(5)を式(4b)に代入して整理すると、

$$\begin{aligned} & \left(\frac{B_1}{B_3} \right)^{2\beta} \left(\frac{D_1}{D_3} \right)^{(1-\beta)} \left(\frac{n_1}{n_3} \right)^{(2\beta+1)} \left(\frac{Q_1}{Q_3} \right)^{(2\beta+1)} \left(\frac{y_3}{y_1} \right)^{7(2\beta+1)/6} \\ & + \left(\frac{B_2}{B_3} \right)^{2\beta} \left(\frac{D_2}{D_3} \right)^{(1-\beta)} \left(\frac{n_2}{n_3} \right)^{(2\beta+1)} \left(\frac{Q_2}{Q_3} \right)^{(2\beta+1)} \left(\frac{y_3}{y_2} \right)^{7(2\beta+1)/6} = 1 \end{aligned} \quad \dots \dots \dots (6)$$

式(6)を y_3/y_1 について解き、さらに式(2)から $Q_1 = Q_3 - Q_2$ であるから、相対平衡水深 y_3/y_1 は、

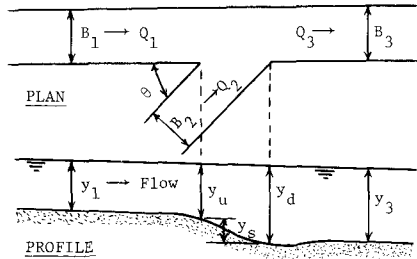


Fig. 1. Definition sketch

$$\frac{y_3}{y_1} = \left[\frac{1 - \left(\frac{B_3}{B_2} \right)^{2p} \left(\frac{D_2}{D_3} \right)^{(1-p)} \left(\frac{n_2}{n_3} \right)^{(2p+1)} \left(\frac{Q_2}{Q_3} \right)^{(2p+1)} \left(\frac{y_3}{y_2} \right)^{7(2p+1)/6}}{\left(\frac{B_3}{B_1} \right)^{2p} \left(\frac{D_1}{D_3} \right)^{(1-p)} \left(\frac{n_1}{n_3} \right)^{(2p+1)} \left(1 - \frac{Q_2}{Q_3} \right)^{(2p+1)}} \right] \frac{6}{7(2p+1)} \quad \dots \dots \dots (7a)$$

式(7a)が合流点における平衡水深の基礎方程式である。 $p=1.0$ の場合は、つきのようになる：

$$\frac{y_3}{y_1} = \left[\frac{1 - \left(\frac{B_3}{B_2} \right)^2 \left(\frac{n_2}{n_3} \right)^3 \left(\frac{Q_2}{Q_3} \right)^3 \left(\frac{y_3}{y_2} \right)^{7/2}}{\left(\frac{B_3}{B_1} \right)^2 \left(\frac{n_1}{n_3} \right)^3 \left(1 - \frac{Q_2}{Q_3} \right)^3} \right]^{\frac{6}{7}} \quad \dots \dots \dots (7b)$$

すなはち $n_1 = n_2 = n_3$, $B_1 = B_2 = B_3$ の仮定下でときは、

$$\frac{y_3}{y_1} = \left[\frac{1 - \left(\frac{Q_2}{Q_3} \right) \left(\frac{y_3}{y_2} \right)^{7/2}}{\left(1 - \frac{Q_2}{Q_3} \right)^3} \right]^{\frac{6}{7}} \quad \dots \dots \dots (7c)$$

この式が Fig. 2 に示されてゐる。

$Q_2/Q_3 = 0.1, 0.2, 0.3, 0.4, 0.5, 0.6, 0.7, 0.8$ は、円の曲線群の一部である。式(7a)において Q_2 がゼロのときは、

$$\frac{y_3}{y_1} = \left(\frac{B_1}{B_3} \right)^{12p/[7(2p+1)]} \left(\frac{D_1}{D_3} \right)^{6(p-1)/[7(2p+1)]} \left(\frac{n_1}{n_3} \right)^{6/7} \quad \dots \dots \dots (7d)$$

すなはち $p=1.0$ の場合は、 $\frac{y_3}{y_1} = \left(\frac{B_1}{B_3} \right)^{7/7} \left(\frac{n_1}{n_3} \right)^{6/7}$ $\dots \dots \dots (7e)$

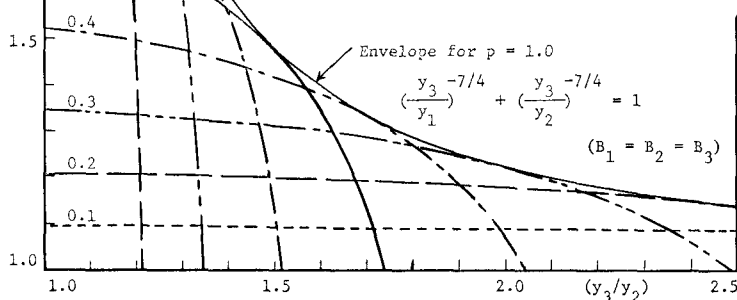
さて、水路縮流部の相対水深の式となる。

合流点近くの水路1と水路2の水深が近似的に等しいと仮定すると、式(6)より相対水深 y_3/y_{1-2} は、つきのようになる：

$$\frac{y_3}{y_{1-2}} = \left[\frac{1}{G} \right]^{6/[7(2p+1)]} \quad \dots \dots \dots (8a)$$

$$z = v, G = \left(\frac{B_3}{B_1} \right)^{2p} \left(\frac{D_1}{D_3} \right)^{(1-p)} \left(\frac{n_1}{n_3} \right)^{(2p+1)} \left(1 - \frac{Q_2}{Q_3} \right)^{(2p+1)}$$

$$+ \left(\frac{B_3}{B_2} \right)^{2p} \left(\frac{D_2}{D_3} \right)^{(1-p)} \left(\frac{n_2}{n_3} \right)^{(2p+1)} \left(\frac{Q_2}{Q_3} \right)^{(2p+1)} \quad \dots \dots \dots (9)$$



$p = 1.0$ の場合は、式(8a)
となる。

Fig. 2. Variation of y_3/y_1 with y_3/y_2 for constant values of Q_2/Q_3 , and envelope for $p = 1.0$

式(7B)から、 $m_1 = m_2 = m_3$, $B_1 = B_3$ と仮定し、 $\therefore B_3/B_2 \approx 1.0$ かつ $p=1.0$ 、 $Q_2/Q_3 = 0.2$, 0.4, 0.6を用いて $y_3/y_1 \approx y_3/y_2$ との関係を示すとFig. 5A, 5B, 5Cのようである。

(C) 合流点における洗掘水深 Fig. 1を参照し、 \therefore 合流点上下流の河床が与えられた流入流量に対する動的平衡の状態にある場合には、合流点における洗掘水深 y_s は、 $y_s = y_a - y_u \dots \dots (18)$ より式(18)を割れば、 $y_s/y_a = 1 - y_u/y_a \dots \dots (19)$ 、ここでこの式から相対洗掘水深 y_s/y_3 の近似式は、 $y_s/y_3 = 1 - y_u/y_3 \dots \dots (20)$ 、式(20)から、 y_s/y_3 の値が負のときは、合流点下流の水路床の堆積上昇を意味し、正の値のときは、合流点下流の水路床低下を意味する。

計算例 夏作川・巴川合流点における行なった計算結果をTable

1に示す。観測データは、文献(2)から入手した。これらの計算

によれば、各水路の平均粒径と河床状態から $m_1 = m_2 = m_3$ と仮定した。

文献

1. Komura, S., "River-Bed Variations at Confluences," International Symposium on River Mechanics, Bangkok, Thailand, (未刊稿中).

2. 夏作川河道計画調査報告書、建設省中部地方建設局、豊橋工事務所、昭和44年1月、242pp.

